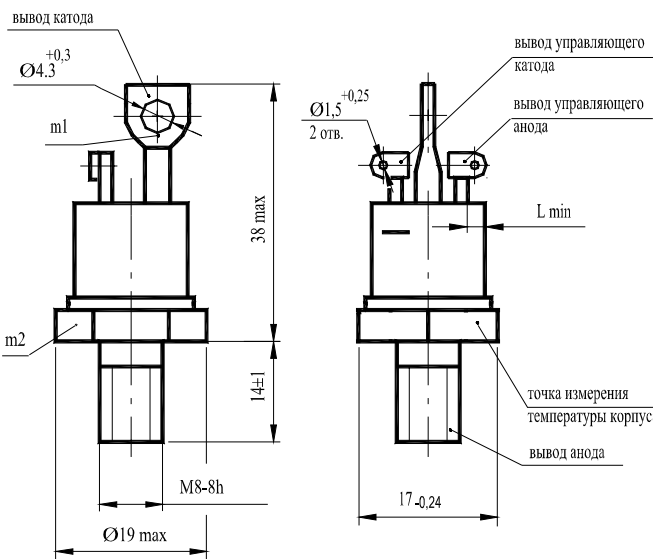


# ОПТОТИРИСТОРЫ ТО132-25, ТО132-40

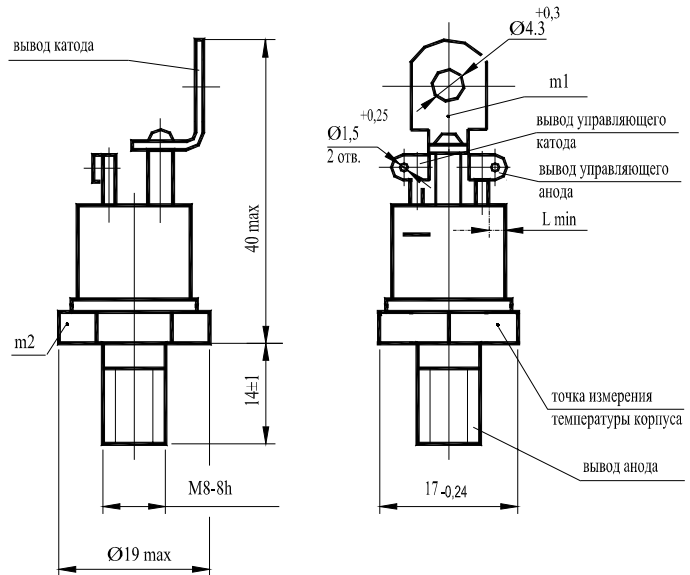


Конструкция оптотиристоров

**Вариант I**



**Вариант II**



**m1, m2** - контрольные точки измерения импульсного напряжения в открытом состоянии;  
**L<sub>min</sub> = 2,26 мм** - длина пути для тока утечки между выводом анода и выводом управляющего электрода, расстояние по воздуху между этими выводами.

## Механические параметры

Наименование, единица измерения	Тип оптотиристора	
	TO132-25	TO132-40
Масса оптотиристора, г, не более	25,5	
Растягивающая сила, Н	для вывода катода	39,2 ± 4,0
	для выводов управляющего электрода	9,8 ± 0,1
Крутящий момент, Нм	для вывода анода	5,6 ± 0,6

## Параметры закрытого состояния

Обозначение параметра	Наименование, единица измерения	Тип оптоизистора		Условия установления норм на параметры
		TO132-25	TO132-40	
$U_{DRM}$ , $U_{RRM}$	Повторяющееся импульсное напряжение в закрытом состоянии и повторяющееся импульсное обратное напряжение, В, для класса:	2 4 5 6 8 9 10 11 12	200 400 500 600 800 900 1000 1100 1200	$T_{jm} = 100^{\circ}\text{C}$ , Импульс напряжения синусоидальный, однополупериодный, $t_i = 10 \text{ мс}, f = 50 \text{ Гц}$
$U_{DSM}$ , $U_{RSM}$	Неповторяющееся импульсное напряжение в закрытом состоянии и неповторяющееся импульсное обратное напряжение, В, для класса:	2 4 5 6 8 9 10 11 12	225 450 560 670 900 1000 1100 1200 1300	$T_{jm} = 100^{\circ}\text{C}$ , Импульс напряжения синусоидальный, одиночный, однополупериодный, $t_i = 10 \text{ мс}$
$U_D$ , $U_R$	Постоянное напряжение в закрытом состоянии и постоянное обратное напряжение, В	$0,6U_{DRM}(U_{RRM})$		$T_c = 70^{\circ}\text{C}$
$U_{DWM}$ , $U_{RWM}$	Рабочее импульсное напряжение в закрытом состоянии и рабочее импульсное обратное напряжение, В	$0,8U_{DRM}(U_{RRM})$		$T_c = 70^{\circ}\text{C}$
$(dU_D/dt)_{crit}$	Критическая скорость нарастания напряжения в закрытом состоянии, В/мкс, не менее, для группы:	0 1 2 3 4 5 6 7	не нормируется, но не менее 10 20 50 100 200 320 500 1000	$T_{jm} = 100^{\circ}\text{C}, U_D = 0,67U_{DRM}$ , $t_i = 200 \text{ мс}$
$I_{DRM}$ $I_{RRM}$	Повторяющийся импульсный ток в закрытом состоянии и повторяющийся импульсный обратный ток, мА, не более	1,7		$T_j = 25^{\circ}\text{C}, U_D = U_{DRM}, U_R = U_{RRM}$
		3,0		$T_{jm} = 100^{\circ}\text{C}, U_D = U_{DRM}, U_R = U_{RRM}$

## Параметры открытого состояния

Параметр		Значение параметра		Условия установления норм на параметры
Буквенное обозначение	Наименование, единица измерения	TO132-25	TO132-40	
$I_{TAVM}$	Максимально допустимый средний ток в открытом состоянии, А	25	40	$T_c=70^\circ\text{C}$ Импульсы тока синусоидальные однополупериодные длительностью не более 10 мс частотой 50 Гц.
	Фактический максимально допустимый средний ток в открытом состоянии, А	26	42	
$I_{TRMSM}$	Максимально допустимый действующий ток в открытом состоянии, А	39	63	
$I_{TSM}$	Ударный ток в открытом состоянии, А	660	825	$T_j=25^\circ\text{C}$
		600	750	$T_{jm}=100^\circ\text{C}$ Импульс тока синусоидальный однополупериодный одиночный длительностью не более 10 мс, $U_R=0$ , $I_G=I_{GT}$ при $T_{jmin}$ .
$U_{TM}$	Импульсное напряжение в открытом состоянии, В, не более	1,85	1,75	$T_j=25^\circ\text{C}$ , $I_T=3,14I_{TAVM}$
$U_{T(TO)}$	Пороговое напряжение в открытом состоянии, В, не более	1,1		$T_{jm}=100^\circ\text{C}$
$r_T$	Динамическое сопротивление в открытом состоянии, мОм, не более	9,5	5,1	$T_{jm}=100^\circ\text{C}$
$I_h$	Ток удержания, мА, не более	70		$T_j=25^\circ\text{C}$ , $U_D=12$ В, цепь управления разомкнута.
$I_L$	Ток включения, мА, не более	100		$T_j=25^\circ\text{C}$ , $U_D=12$ В. Режим цепи управления: импульс тока трапецидальный, $I_G=250$ мА, $t_G=50$ мс, $di_T/dt=0,5$ А/мкс. Внутреннее сопротивления источника управления не более 30 Ом.
$I_{TAV}$	Средний ток в открытом состоянии на охладителе OP231-80 при $T_a=40^\circ\text{C}$ , А	14	16	естественное охлаждение

## Параметры гальванической развязки

Параметр		Значение параметра	Условия установления норм на параметры
Буквенное обозначение	Наименование, единица измерения	TO132-25 TO132-40	
$U_{IG}$	Электрическая прочность изоляции между основными выводами и выводами управляющего электрода, В (действующее значение)	2000	Нормальные климатические условия. Частота испытательного напряжения 50 Гц. Время приложения испытательного напряжения не менее 60 с.
$R_{IG}$	Сопротивление изоляции между основными выводами и выводами управляющего электрода, МОм, не менее	10	Нормальные климатические условия. $U_{IG}=1000$ В. Время приложения испытательного напряжения не менее 10 с.
		1	Повышенная влажность (93%). $U_{IG}=1000$ В. Время приложения испытательного напряжения не менее 10 с.

## Параметры переключения

Обозначение параметра	Наименование, единица измерения	Тип оптотиристора		Условия установления норм на параметры
		TO132-25	TO132-40	
$(di_T/dt)_{crit}$	Критическая скорость нарастания тока в открытом состоянии, А/мкс, не менее	100		$T_j = 100^\circ\text{C}$ , $U_D = 0,67 U_{DRM}$ ; $I_T = 2I_{TAVM}$ Импульс тока синусоидальный однополупериодный частотой $f = 1-5 \text{ Гц}$ . Режим цепи управления: форма импульса тока -трапецидальная; $I_G = (500 \pm 10) \text{ мА}$ ; $t_g = 50 \text{ мкс}$ ; длительность фронта 1 мкс. Внутреннее сопротивление источника управления не более 30 Ом . Время испытаний не более 10 с.
$t_{gt}$	Время включения, мкс, не более	10		$T_j = 25^\circ\text{C}$ , $U_D = 100 \text{ В}$ , $I_T = I_{TAVM}$ Режим цепи управления: форма импульса тока- трапецидальная; $I_G = 150 \text{ мА}$ ; $t_g = 50 \text{ мкс}$ ; $di_G/dt = 0,5 \text{ А/мкс}$ Внутреннее сопротивление источника управления не более 30 Ом .
$t_{gd}$	Время задержки,мкс, не более	5		
$Q_{rr}$	Заряд обратного восстановления, мККл, не более	46	85	
$I_{rrm}$	Импульсный обратный ток восстановления, А, не более	20,0	26,1	
$t_{rr}$	Время обратного восстановления, мкс, не более	4,6	6,5	
$t_q$	Время выключения ,мкс, не более	160		$T_j = 25^\circ\text{C}$ , $I_T = I_{TAVM}$ , $U_D = 0,67 U_{DRM}$ , $di_T/dt = 5 \text{ А/мкс}$ , $U_R = 100 \text{ В}$ , $t_{i min} = 500 \text{ мкс}$ , $dU_D/dt = (dU_D/dt)_{crit}$

## Параметры управления

Обозначение параметра	Наименование, единица измерения	Тип оптотиристора		Условия установления норм на параметры
		TO132-25	TO132-40	
$U_{GT}$	Отпирающее постоянное напряжение управления, В, не более (для приборов с индексом "A")	1,8		$T_j = 25^\circ\text{C}$ , $U_D = 12 \text{ В}$
$I_{GT}$	Отпирающий постоянный ток управления,мА, не более (для приборов с индексом "A")	80		$T_j = 25^\circ\text{C}$ , $U_D = 12 \text{ В}$
$I_{GT max}$	Максимально допустимый постоянный ток управления,мА (для приборов с индексом "A")	100		$T_j = 25^\circ\text{C}$ , $U_D = 12 \text{ В}$
$U_{GTM}$	Отпирающее импульсное напряжение управления, В, не более	2,5		$T_j = 25^\circ\text{C}$
		3,0		$T_j = \text{минус } 50^\circ\text{C}$
$I_{GTM}$	Отпирающий импульсный ток управления, мА, не более	150		$T_j = 25^\circ\text{C}$ , $t_i = 100 \text{ мкс}$
		300		$T_j = \text{минус } 50^\circ\text{C}$ , $t_i = 100 \text{ мкс}$
$I_{GTM max}$	Максимально допустимый импульсный ток управления, мА	700		$t_i = 100 \text{ мкс}, \text{скважность } k = 10$
$U_{GD}$	Неотпирающее постоянное напряжение управления, В, не менее	0,9		$T_j = 100^\circ\text{C}$ , $U_D = 0,67 U_{DRM}$
$I_{GD}$	Неотпирающий постоянный ток управления, мА, не менее	3,0		$T_j = 100^\circ\text{C}$ , $U_D = 0,67 U_{DRM}$

## Тепловые параметры

Параметр		Значение параметра		Условия установления норм на параметры
Буквенное обозначение	Наименование, единица измерения	TO132-25	TO132-40	
$T_{jm}$	Максимально допустимая температура перехода, °C	100		
$T_{jmin}$	Минимально допустимая температура перехода, °C	минус 50		
$T_{stgm}$	Максимально допустимая температура хранения, °C	50 для исполнения У2 60 для исполнения Т3 и ОМ2.1		
$T_{stgm}$	Минимально допустимая температура хранения, °C	минус 50 минус 10 для исполнения Т3		
$R_{thjc}$	Тепловое сопротивление переход-корпус, °C/Вт, не более	0,7	0,47	Постоянный ток
$R_{thch}$	Тепловое сопротивление корпус-охладитель, °C/Вт, не более	0,2		
$R_{thja}$	Тепловое сопротивление переход-среда с охладителем OP231-80, °C/Вт, не более	3,02	2,79	естественное охлаждение

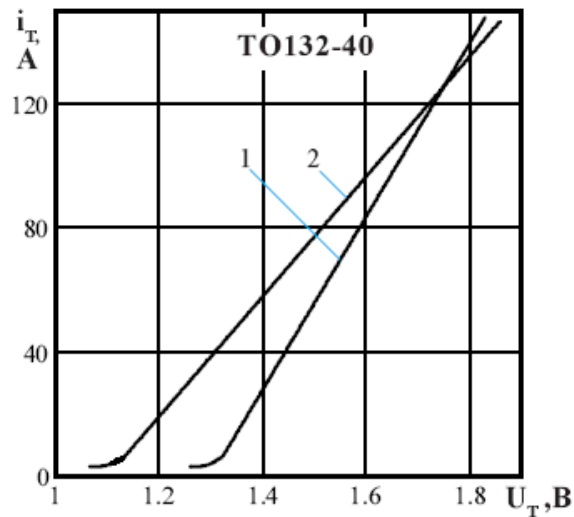
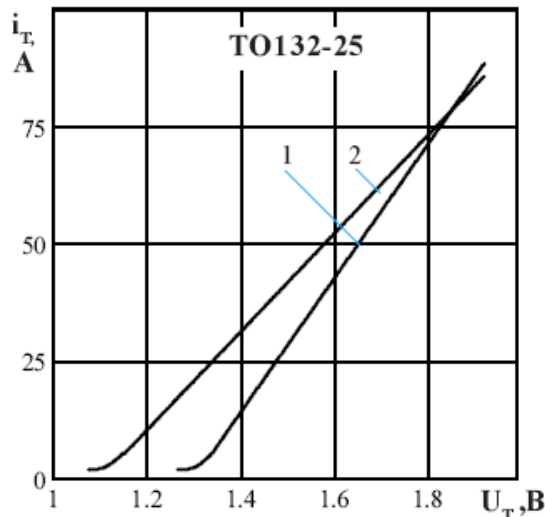


Рисунок 1 - Предельная вольтамперная характеристика в открытом состоянии при температуре перехода 25 °C (1) и максимальной температуре перехода  $T_{jm}$  (2)  $I_T = 3,14I_{TAVM}$

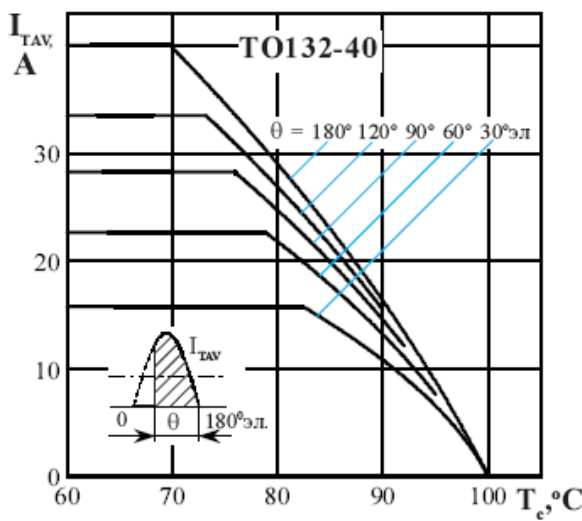
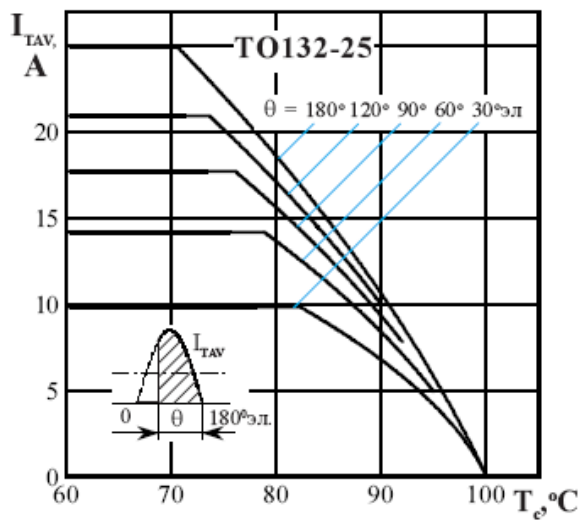
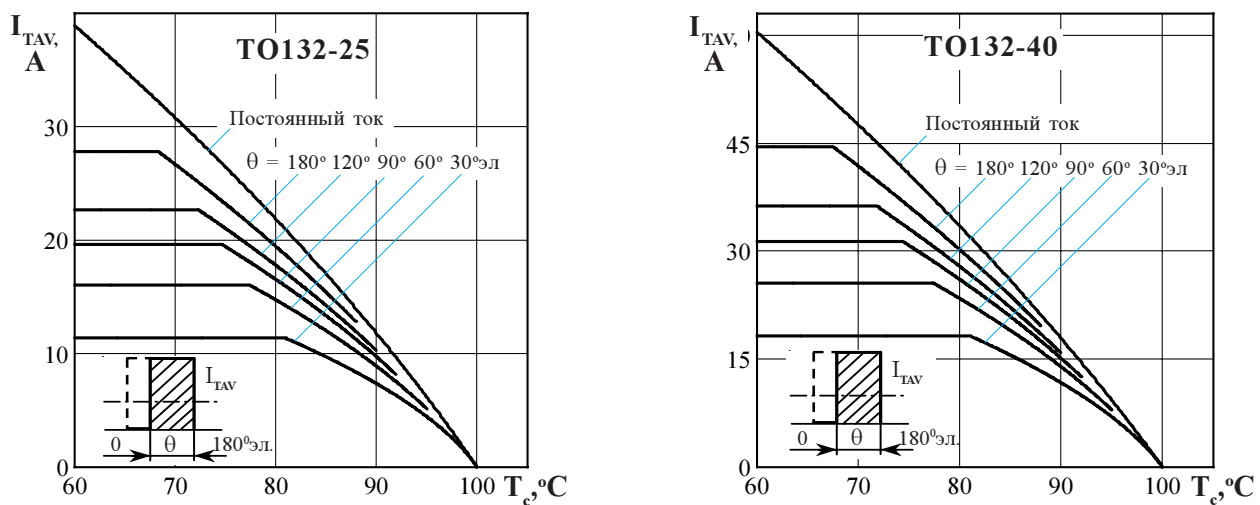
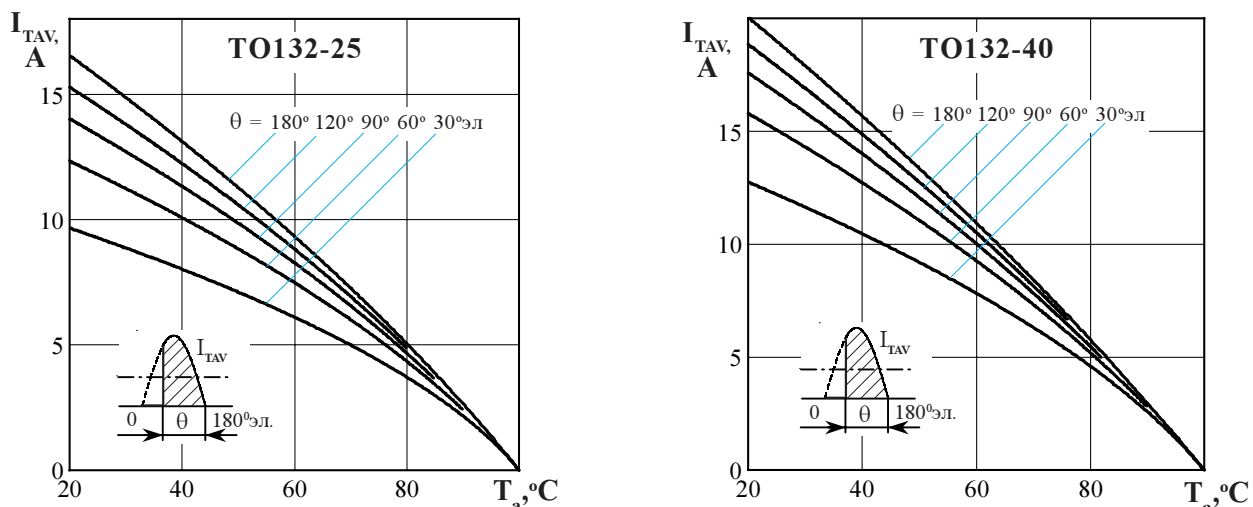


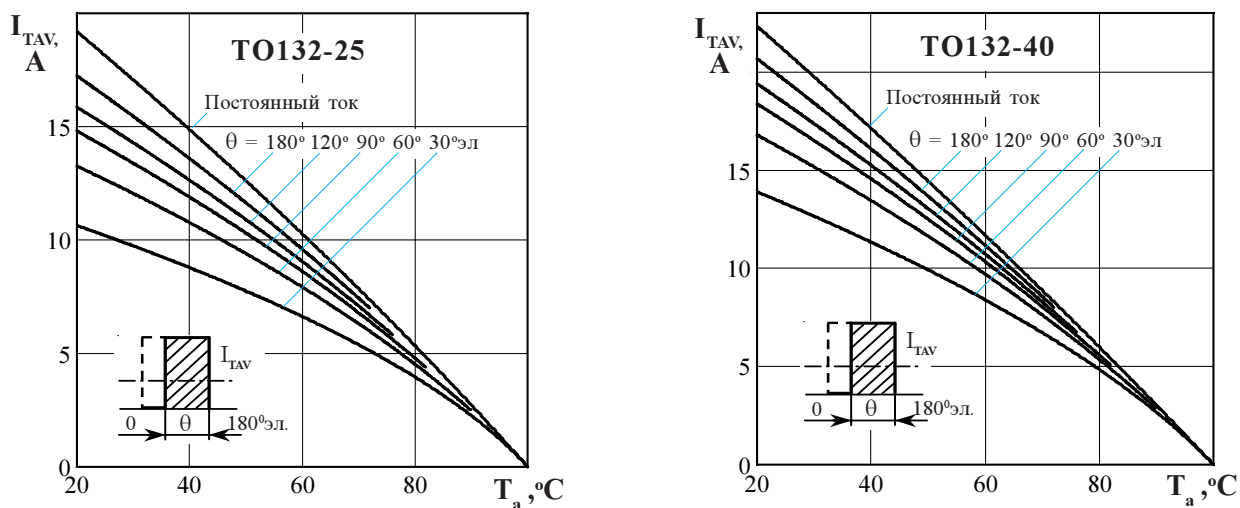
Рисунок 2 - Зависимость допустимого среднего тока в открытом состоянии  $I_{TAV}$  от температуры корпуса  $T_c$  для токов синусоидальной формы частотой  $f = 50$  Гц



**Рисунок 3** - Зависимость допустимого среднего тока в открытом состоянии  $I_{TAV}$  от температуры корпуса  $T_c$  для токов прямоугольной формы частотой  $f = 50$  Гц и постоянного тока

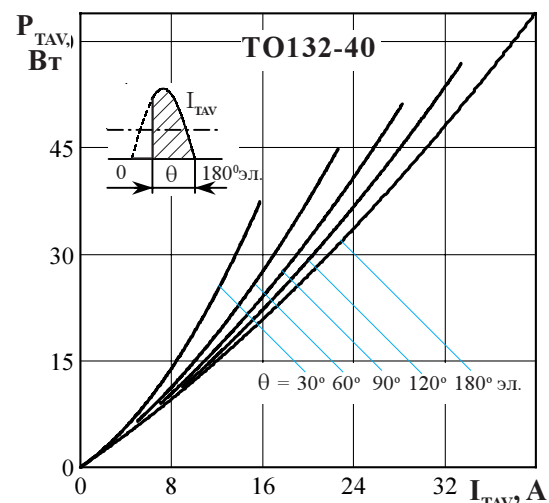
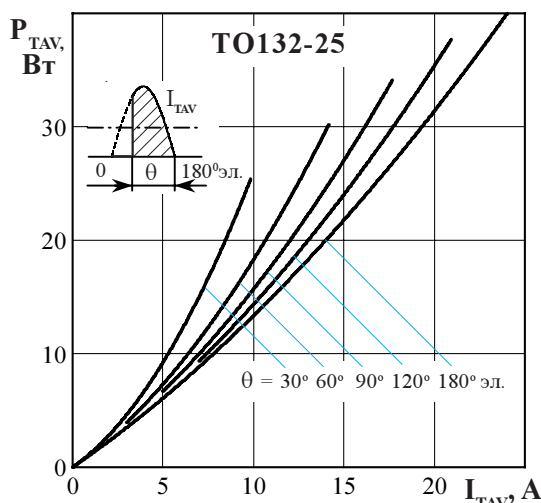


**Рисунок 4** - Зависимость допустимого среднего тока в открытом состоянии  $I_{TAV}$  от температуры окружающей среды  $T_a$  при естественном охлаждении на типовом охладителе при различных углах проводимости и для токов синусоидальной формы частотой  $f = 50$  Гц и постоянного тока

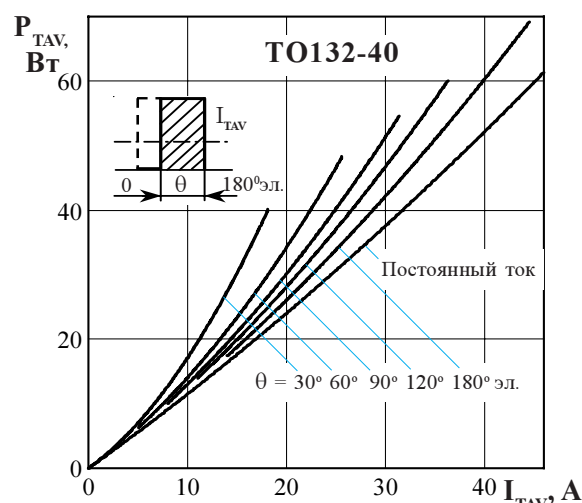
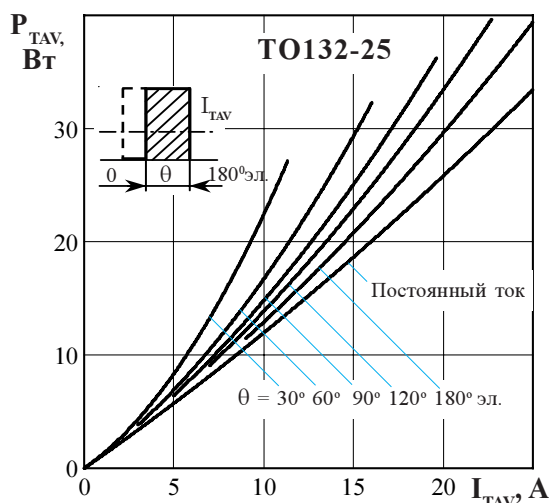


**Рисунок 5** - Зависимость допустимого среднего тока в открытом состоянии  $I_{TAV}$  от температуры окружающей среды  $T_a$  при естественном охлаждении на типовом охладителе при различных углах проводимости и для токов прямоугольной формы частотой  $f = 50$  Гц и постоянного тока

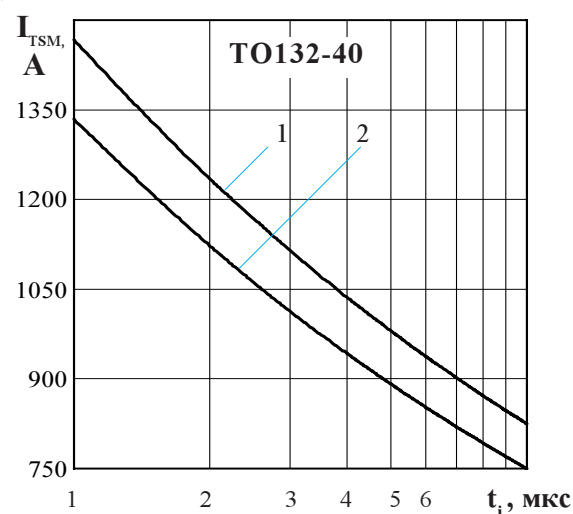
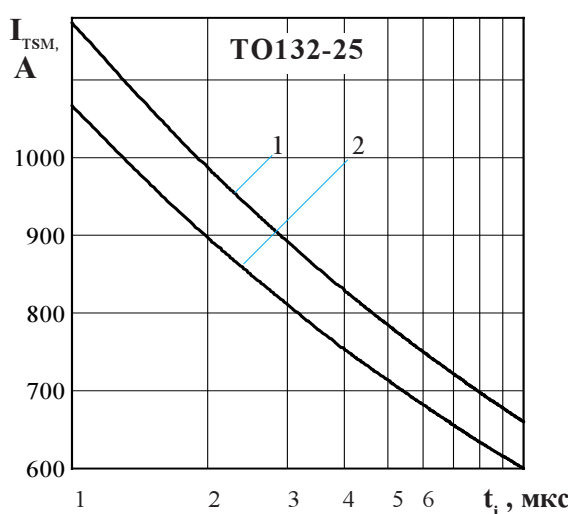
# ..... ОПТОТИРИСТОРЫ ШТЫРЕВОЙ КОНСТРУКЦИИ .....



**Рисунок 6** - Зависимость средней рассеиваемой мощности в открытом состоянии  $P_{TAV}$  от среднего тока в открытом состоянии  $I_{TAV}$  синусоидальной формы частотой  $f = 50$  Гц



**Рисунок 7** - Зависимость средней рассеиваемой мощности в открытом состоянии  $P_{TAV}$  от среднего тока в открытом состоянии  $I_{TAV}$  прямоугольной формы частотой  $f = 50$  Гц и постоянного тока



**Рисунок 8** - Зависимость допустимой амплитуды ударного тока в открытом состоянии  $I_{TSM}$  от длительности импульса тока  $t_i$  при исходной температуре структуры  $T_j = 25$  °C (1) и максимальной температуре  $T_{jm}$  (2)

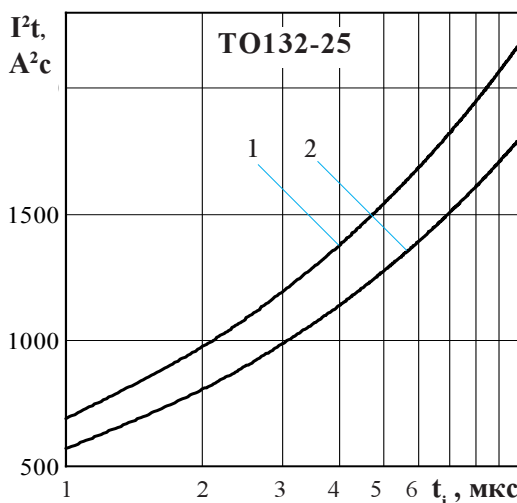


Рисунок 9 - Зависимость защитного показателя  $I^2t$  от длительности импульса тока  $t_i$  при исходной температуре структуры  $T_j = 25^\circ C$  (1) и максимальной температуре  $T_{jm}$  (2)

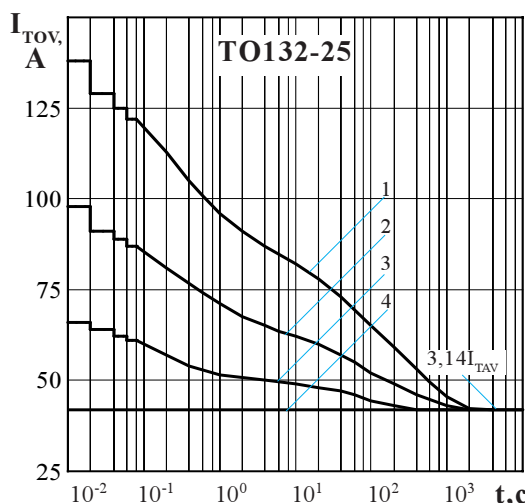
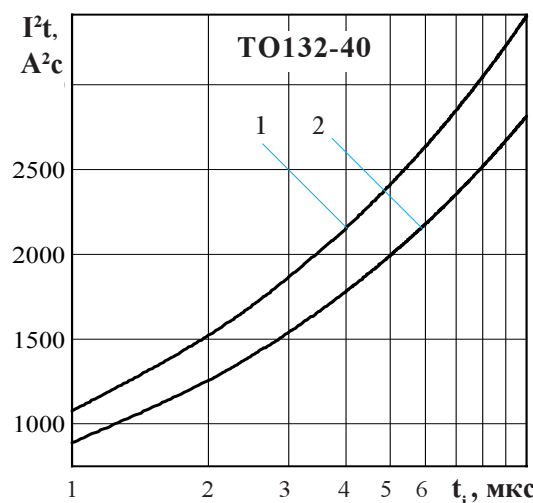


Рисунок 10 - Зависимость допустимой амплитуды тока перегрузки в открытом состоянии  $I_{TOV}$  синусоидальной формы частотой  $f = 50$  Гц от длительности перегрузки  $t$  при температуре окружающей среды  $T_a = 40^\circ C$  и при отношении тока, предшествующего перегрузке,  $I_t$  к допустимому среднему току с охлаждителем  $I_{TAV}$  равному  $k = I_t / I_{TAV}$ ;  $k = 0$  (1); 0,5 (2); 0,75 (3); 1,0 (4).

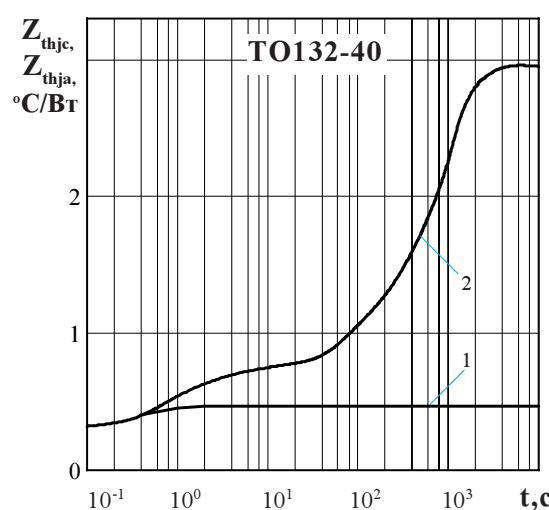
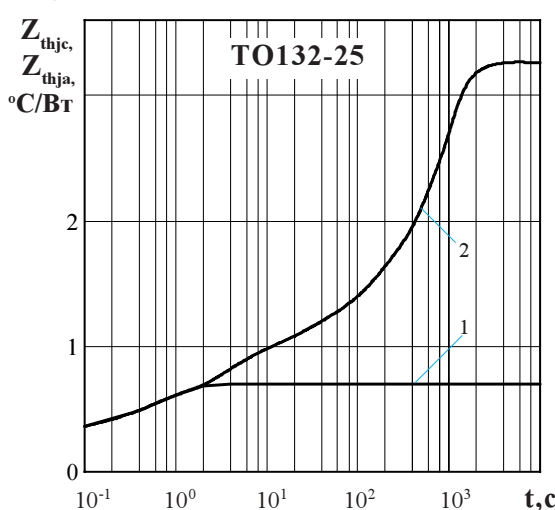
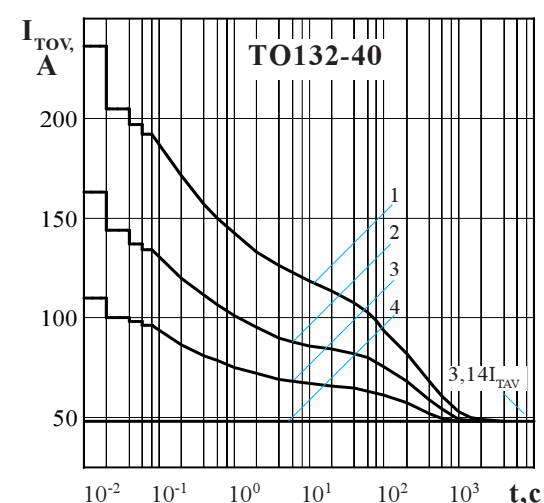
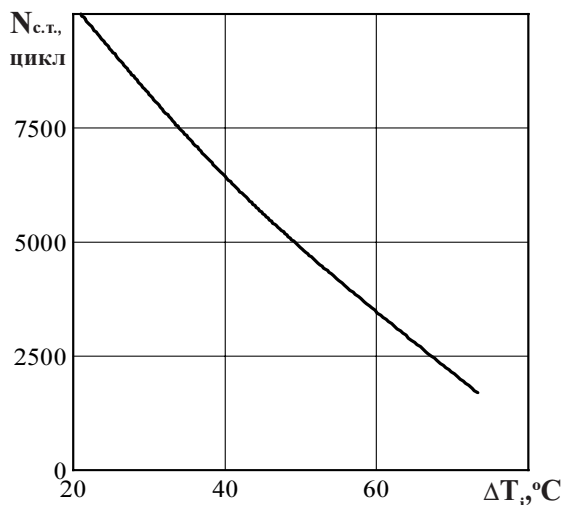
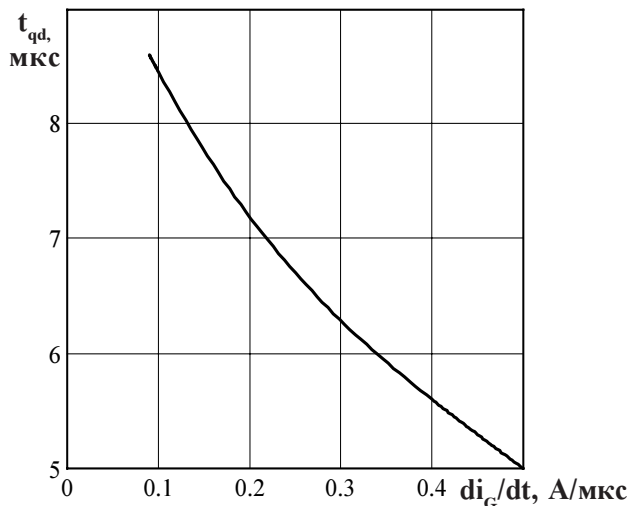


Рисунок 11 - Зависимость теплового сопротивления переход - корпус  $Z_{thje}$  (1) и переход - среда  $Z_{thja}$  (2) от времени  $t$  при естественном охлаждении  $T_a = 40^\circ C$  на типовом охладителе.

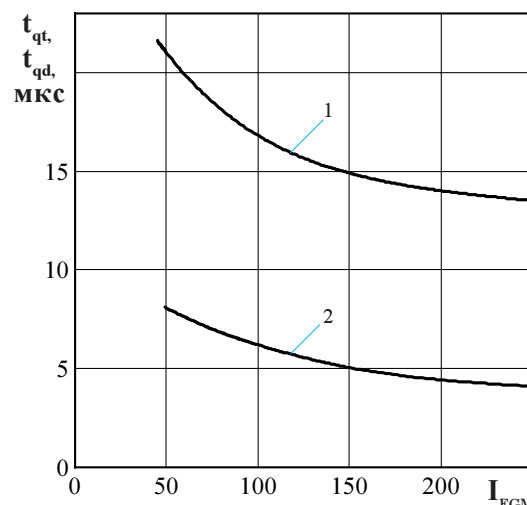
# ..... ОПТОТИРИСТОРЫ ШТЫРЕВОЙ КОНСТРУКЦИИ .....



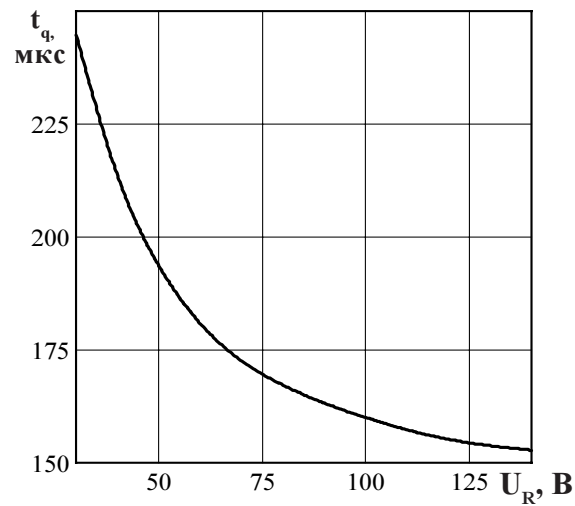
**Рисунок 12** - Зависимость максимально допустимого числа циклов нагрев-охлаждение  $N_{c.t.}$  от диапазона изменения температуры перехода  $\Delta T_j$  при циклической токовой нагрузке.



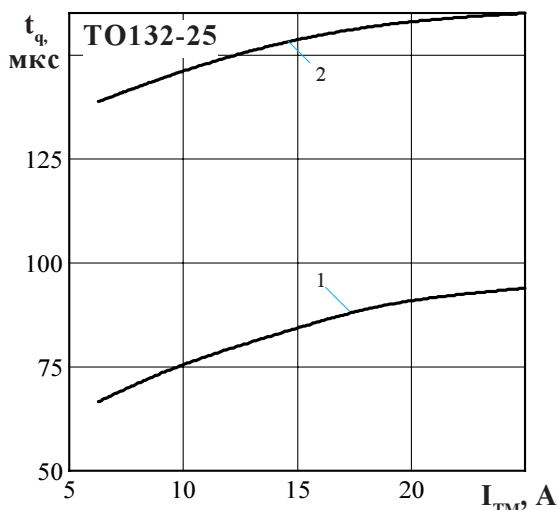
**Рисунок 14** - Зависимость времени задержки  $t_{qd}$  от скорости нарастания тока управляющего импульса  $di_G/dt$  при температуре перехода  $T_j = 25^\circ\text{C}$ ;  $t_G = 50 \mu\text{s}$ ;  $U_D = 100 \text{ В}$ ;  $I_{GTM} = 150 \text{ mA}$ .



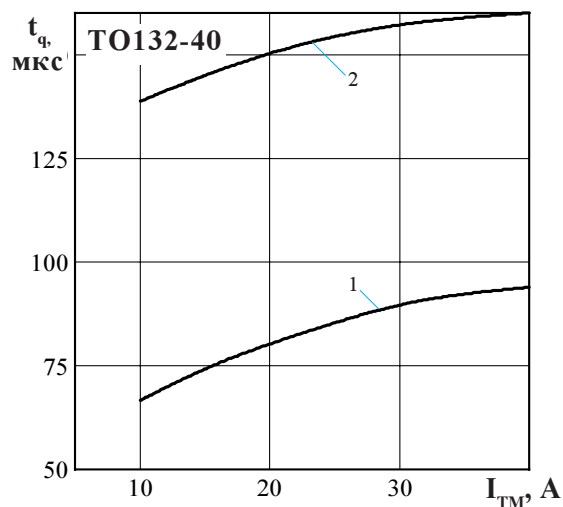
**Рисунок 13** - Зависимость времени включения  $t_{qt}$  (1) и времени задержки  $t_{qd}$  (2) от амплитуды управляющего импульса  $I_{FGM}$  при температуре перехода  $T_j = 25^\circ\text{C}$ ;  $di_G/dt = 5 \text{ A}/\mu\text{s}$ ;  $t_G = 50 \mu\text{s}$ ;  $U_D = 100 \text{ В}$ ;  $I_T = I_{TAVM}$

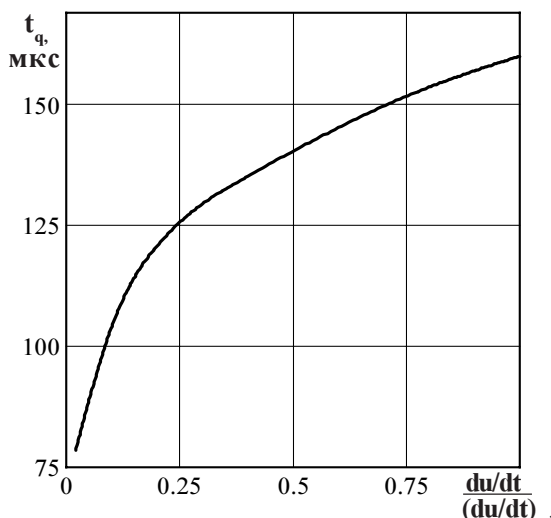


**Рисунок 15** - Зависимость времени выключения  $t_q$  от обратного напряжения  $U_R$  при максимальной температуре перехода  $T_{jm} = 100^\circ\text{C}$ ;  $I_T = I_{TAVM}$ ;  $(di/dt)_f = 5 \text{ A}/\mu\text{s}$ ;  $dU_D/dt = 50 \text{ В}/\mu\text{s}$ ;  $U_D = 0,67 U_{DRM}$

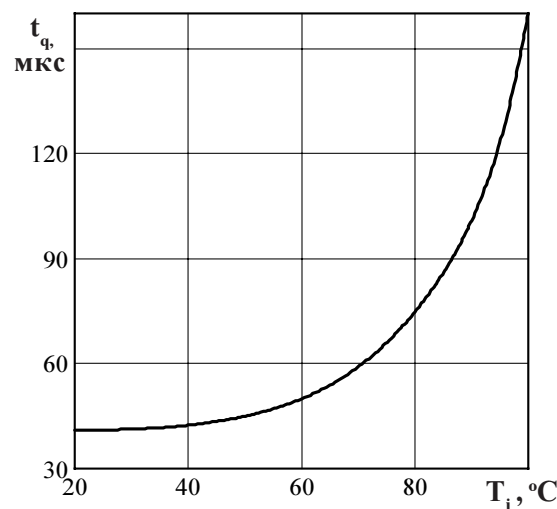


**Рисунок 16** - Зависимость времени выключения  $t_q$  от амплитуды предшествующего тока в открытом состоянии  $I_{TM}$  при максимальной температуре перехода  $T_{jm} = 100^\circ\text{C}$  (2) и  $T_j = 25^\circ\text{C}$  (1);  $(di/dt)_f = 5 \text{ A}/\mu\text{s}$ ;  $dU_D/dt = (dU_D/dt)_{crit}$ ;  $U_D = 0,67 U_{DRM}$ ;  $U_R = 100 \text{ В}$

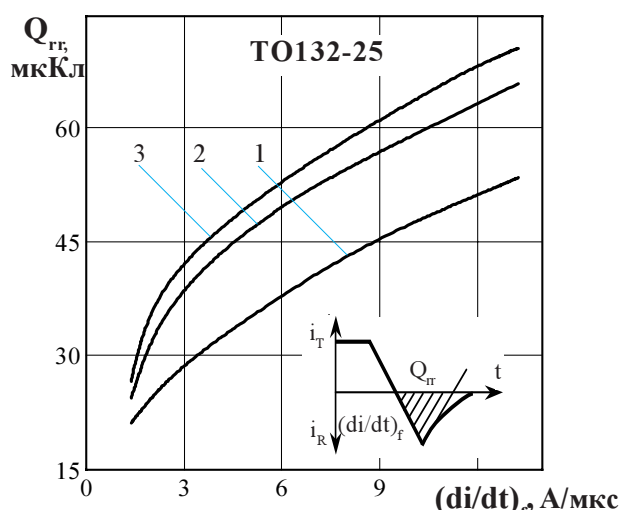




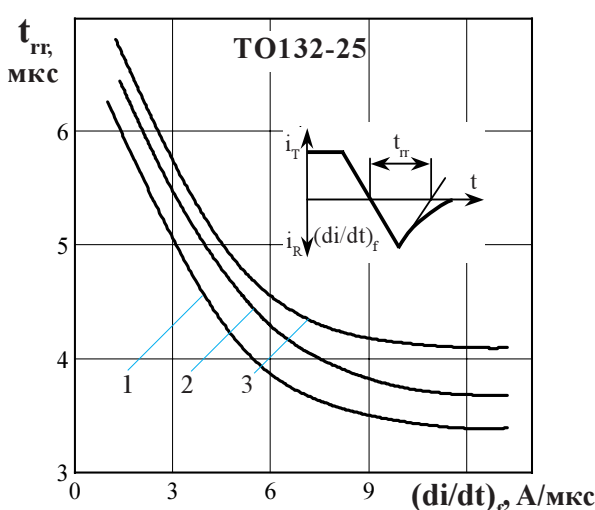
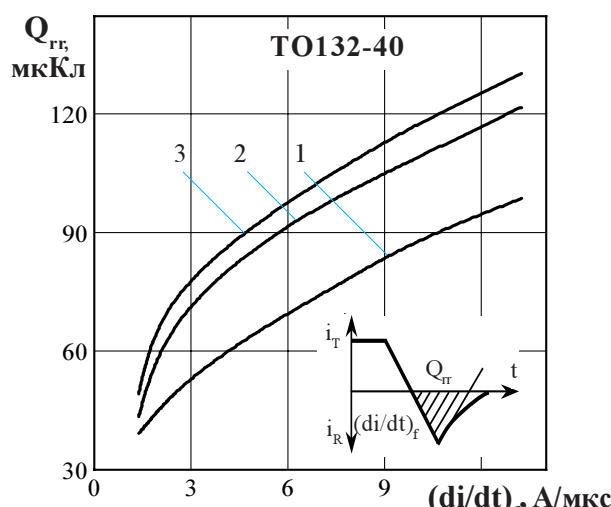
**Рисунок 17** - Зависимость времени выключения  $t_q$  от скорости нарастания напряжения в закрытом состоянии  $dU/dt$  (отн.ед.) при  $T_{jm} = 100^\circ\text{C}$ ;  $I_T = I_{TAVM}$ ;  $U_D = 0,67 U_{DRM}$ ;  $U_R = 100 \text{ В}$ ;  $(di/dt)_f = 5 \text{ А}/\mu\text{с}$



**Рисунок 18** - Зависимость времени выключения  $t_q$  от температуры перехода  $T_j$  при  $I_T = I_{TAVM}$ ;  $di/dt = 5 \text{ А}/\mu\text{с}$ ;  $U_R = 100 \text{ В}$ ;  $U_D = 0,67 U_{DRM}$ ;  $dU_D/dt = (dU_D/dt)_{\text{crit}}$



**Рисунок 19** - Зависимость заряда восстановления  $Q_{rr}$  от скорости спада тока  $(di/dt)_f$  в открытом состоянии при температуре перехода  $T_{jm} = 100^\circ\text{C}$ ,  $U_{RM} = 100 \text{ В}$ ;  $I_T = I_{TAVM}$ .



**Рисунок 20** - Зависимость времени обратного восстановления  $t_{rr}$  от скорости спада тока  $(di/dt)_f$  в открытом состоянии при температуре перехода  $T_{jm} = 100^\circ\text{C}$ ,  $U_R = 100 \text{ В}$  и предшествующем токе открытого состояния  $I_T = 0,5 I_{TAVM}$  (1),  $I_T = I_{TAVM}$  (2),  $I_T = 1,5 I_{TAVM}$  (3).

